

20

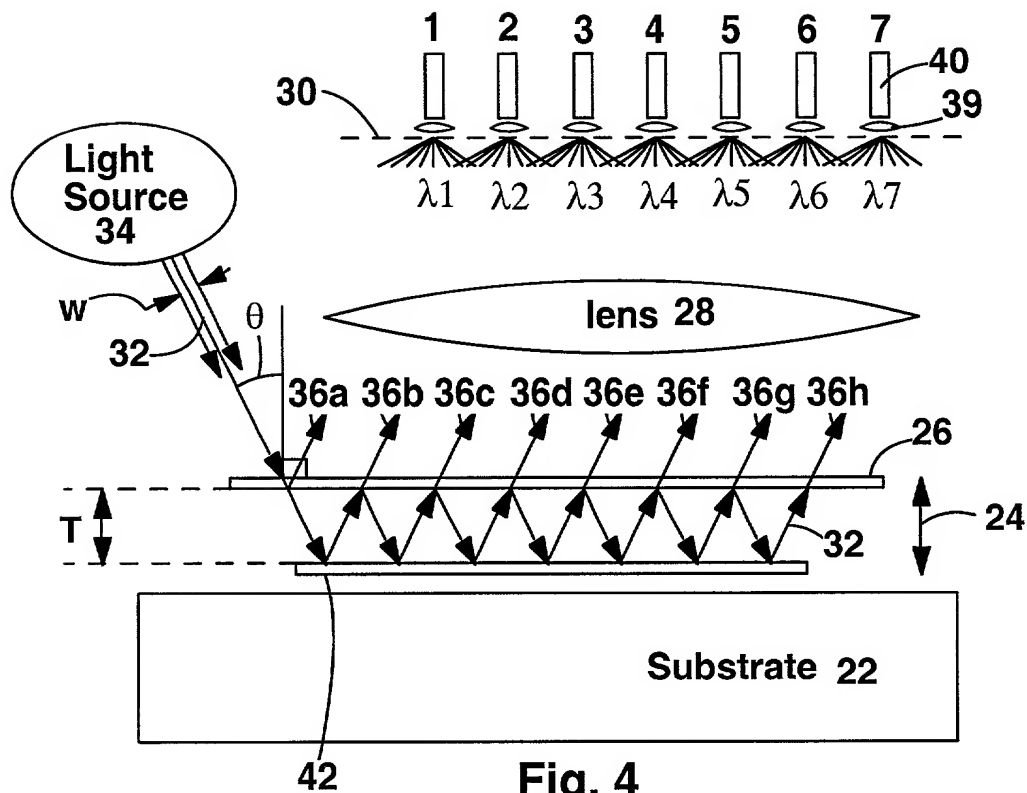


Fig. 2



Fig. 3

2/16



column 1

column 8

7	λ_7	λ_1	λ_2	λ_3	λ_4	λ_5	λ_6	λ_7
6	λ_6	λ_7	λ_1	λ_2	λ_3	λ_4	λ_5	λ_6
5	λ_5	λ_6	λ_7	λ_1	λ_2	λ_3	λ_4	λ_5
4	λ_4	λ_5	λ_6	λ_7	λ_1	λ_2	λ_3	λ_4
3	λ_3	λ_4	λ_5	λ_6	λ_7	λ_1	λ_2	λ_3
2	λ_2	λ_3	λ_4	λ_5	λ_6	λ_7	λ_1	λ_2
1	λ_1	λ_2	λ_3	λ_4	λ_5	λ_6	λ_7	λ_1

Optical Fiber

low (large T) Mirror 42 Position high (small T)

Fig. 5

3/16

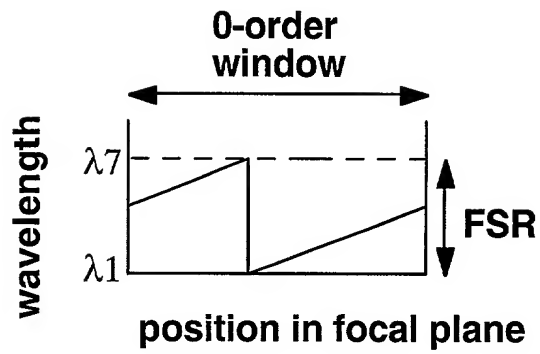


Fig. 6

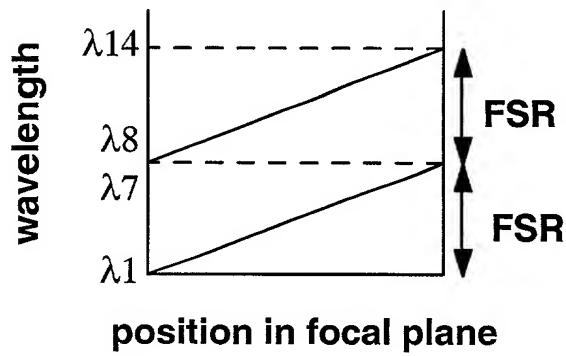


Fig. 7

Optical Fiber	7	λ_7 λ_{14}	λ_1 λ_8	λ_2 λ_9	λ_3 λ_{10}	λ_4 λ_{11}	λ_5 λ_{12}	λ_6 λ_{13}
	6	λ_6 λ_{13}	λ_7 λ_{14}	λ_1 λ_8	λ_2 λ_9	λ_3 λ_{10}	λ_4 λ_{11}	λ_5 λ_{12}
	5	λ_5 λ_{12}	λ_6 λ_{13}	λ_7 λ_{14}	λ_1 λ_8	λ_2 λ_9	λ_3 λ_{10}	λ_4 λ_{11}
	4	λ_4 λ_{11}	λ_5 λ_{12}	λ_6 λ_{13}	λ_7 λ_{14}	λ_1 λ_8	λ_2 λ_9	λ_3 λ_{10}
	3	λ_3 λ_{10}	λ_4 λ_{11}	λ_5 λ_{12}	λ_6 λ_{13}	λ_7 λ_{14}	λ_1 λ_8	λ_2 λ_9
	2	λ_2 λ_9	λ_3 λ_{10}	λ_4 λ_{11}	λ_5 λ_{12}	λ_6 λ_{13}	λ_7 λ_{14}	λ_1 λ_8
	1	λ_1 λ_8	λ_2 λ_9	λ_3 λ_{10}	λ_4 λ_{11}	λ_5 λ_{12}	λ_6 λ_{13}	λ_7 λ_{14}
		Mirror Position						
		low (large T)					high (small T)	

Fig. 8

4/16

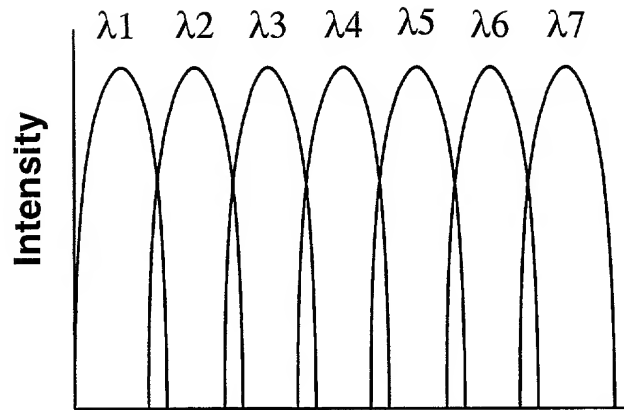


Fig. 9a Focal Plane Position

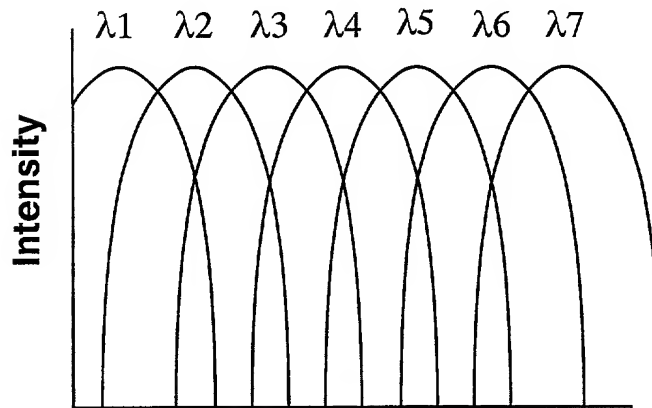


Fig. 9b Focal Plane Position

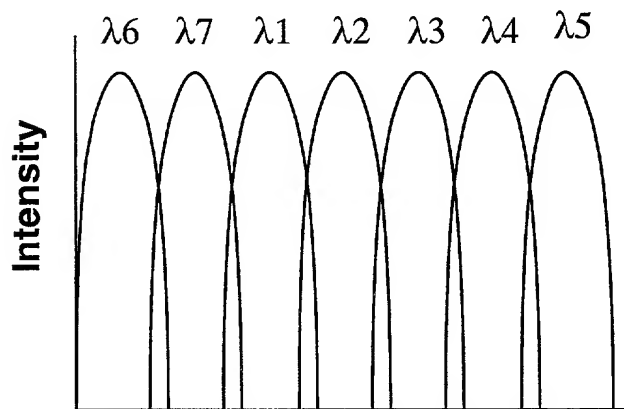


Fig. 10 Focal Plane Position

5/16

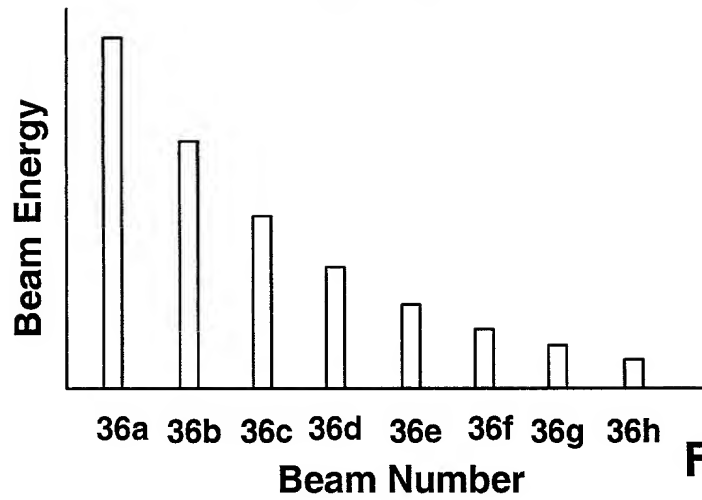


Fig. 11

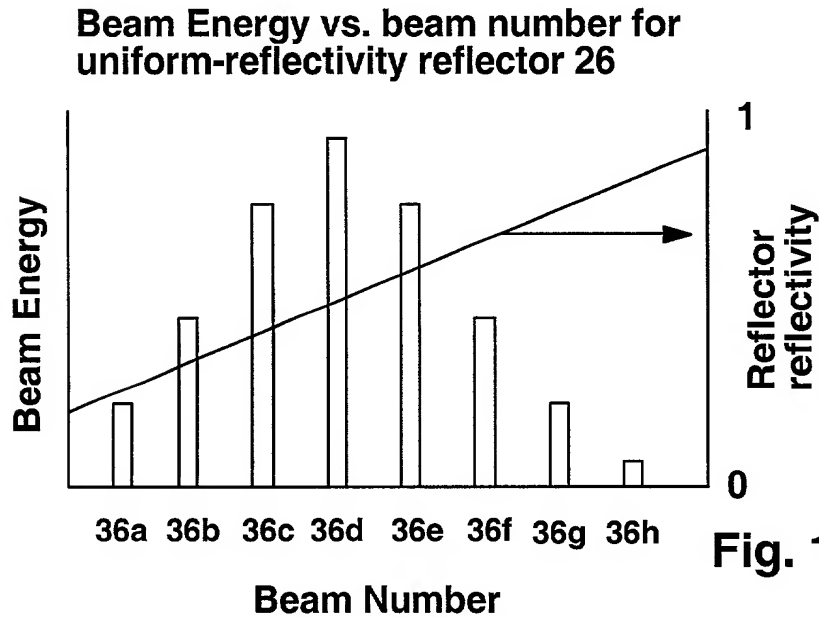


Fig. 12

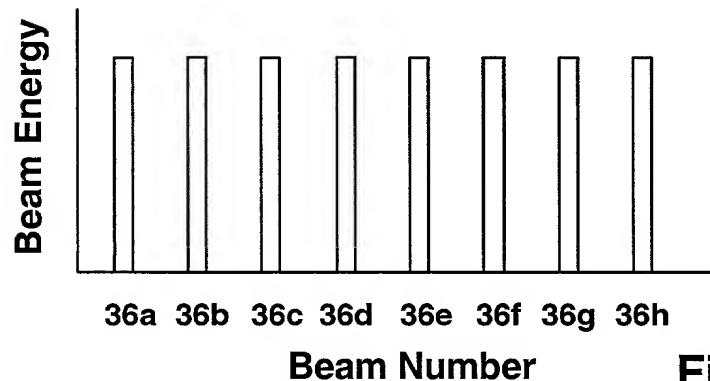
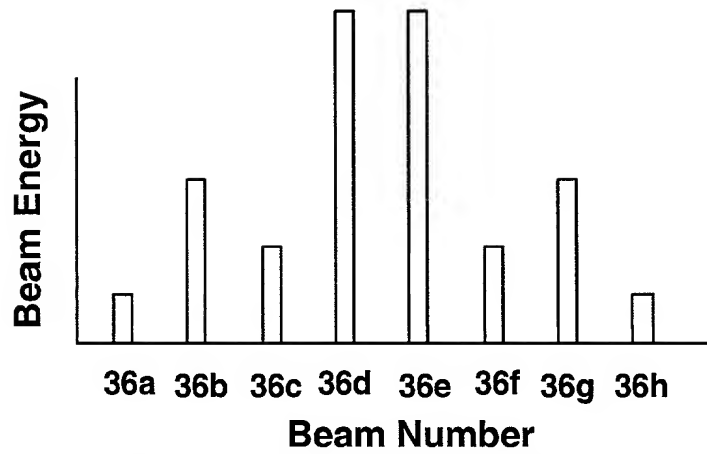


Fig. 13

6/16



Beam Energy vs. beam number
Sinc function- energy distribution

Fig. 14

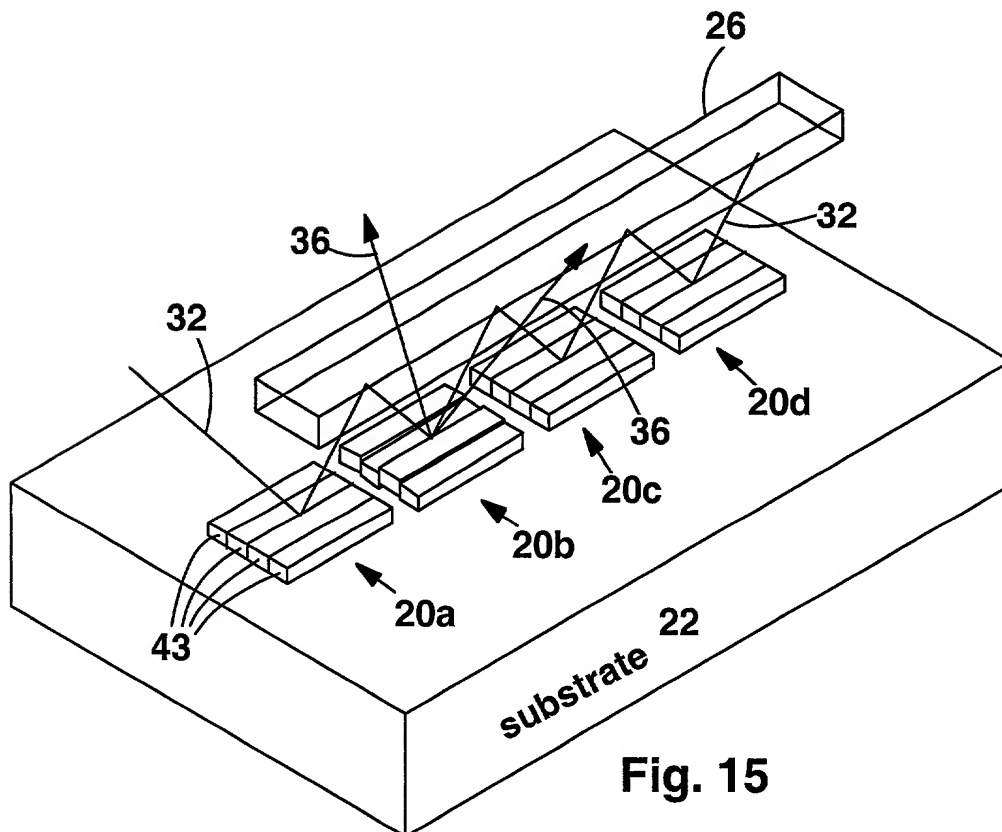


Fig. 15



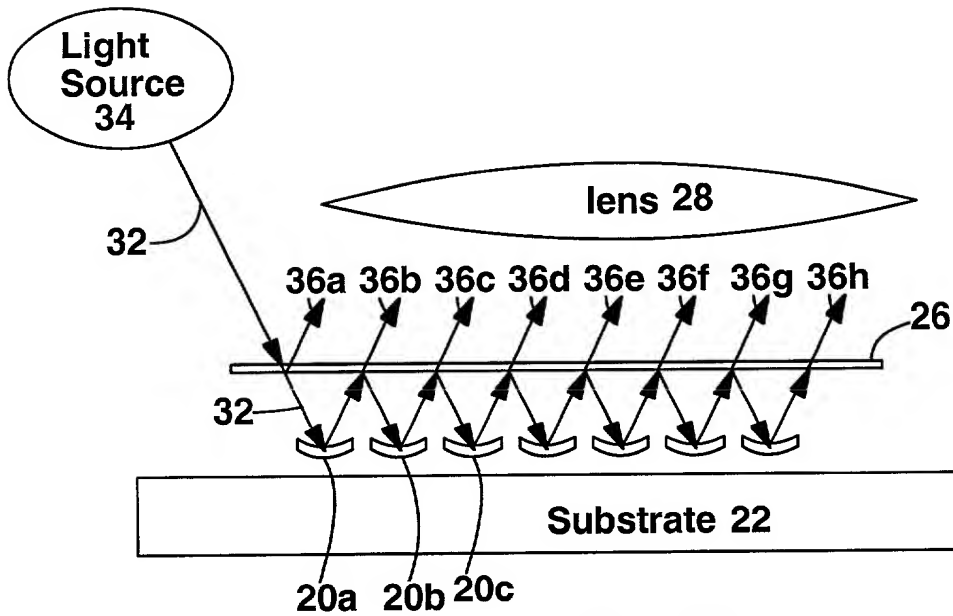


Fig. 18

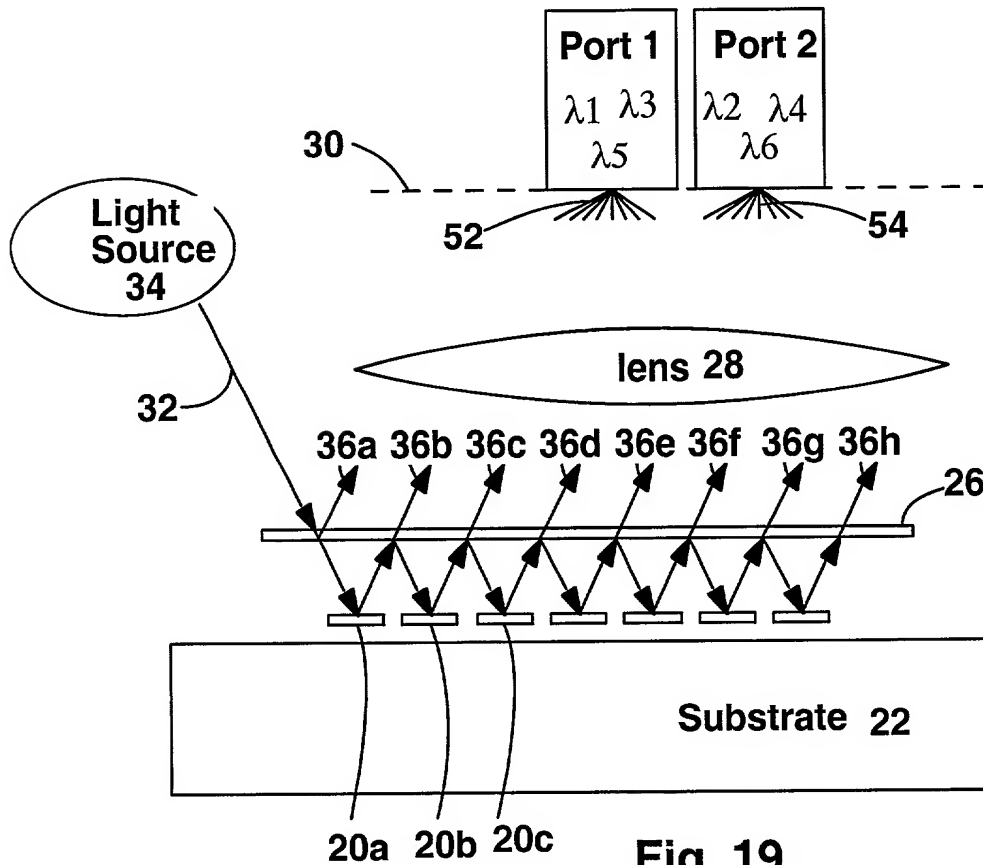
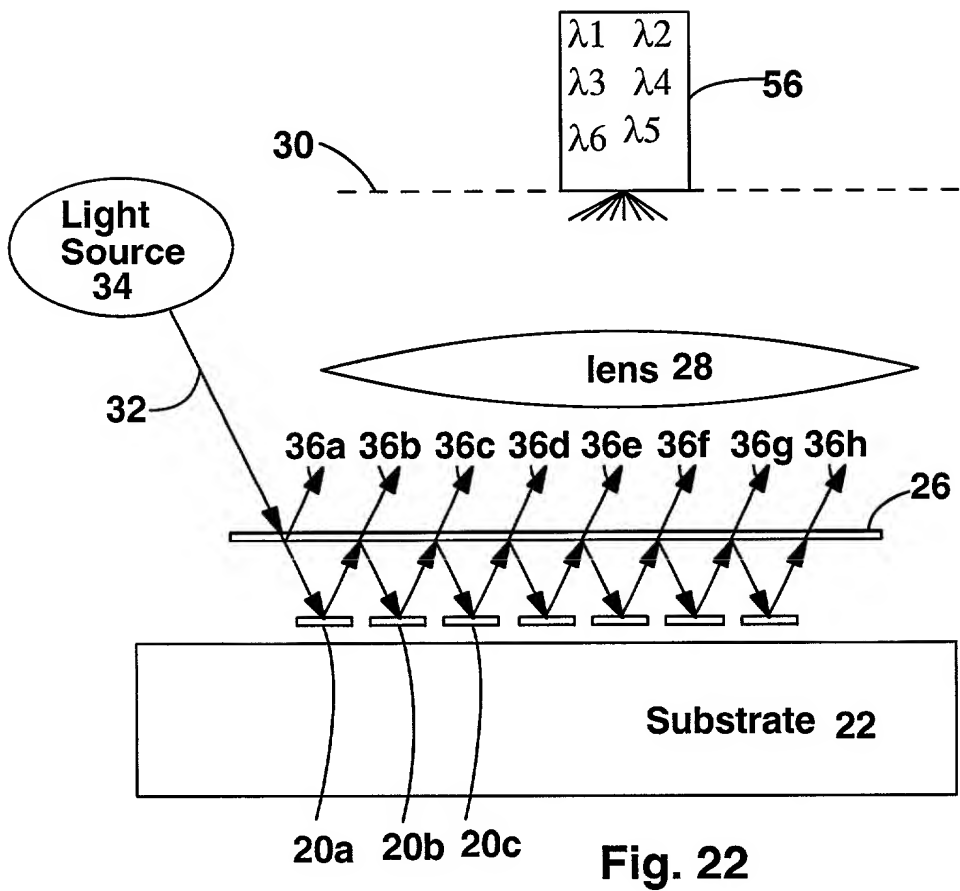
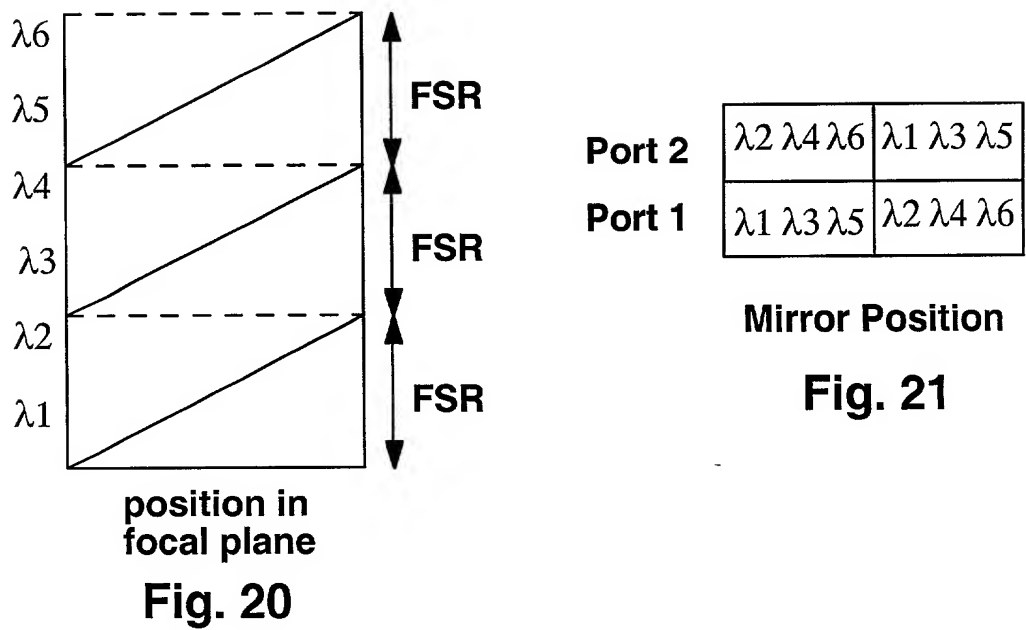


Fig. 19



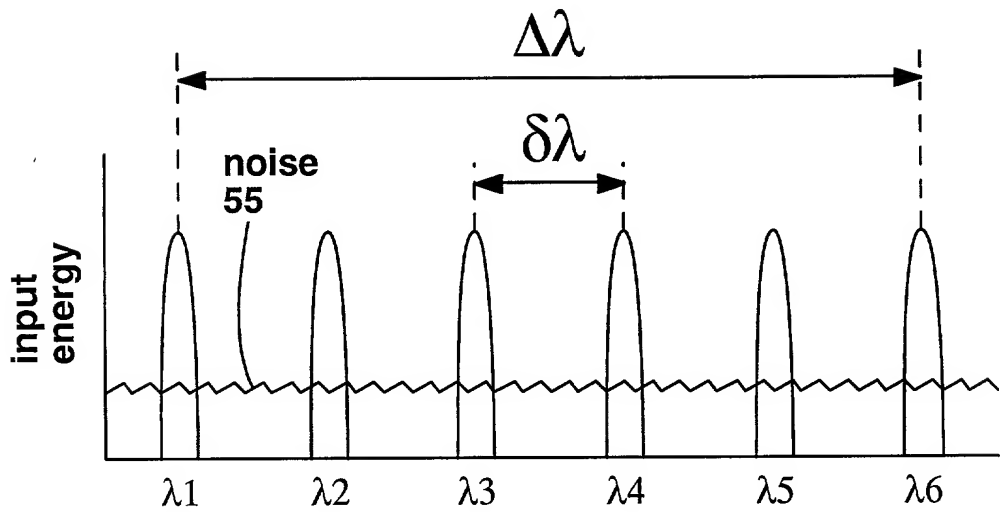


Fig. 23a

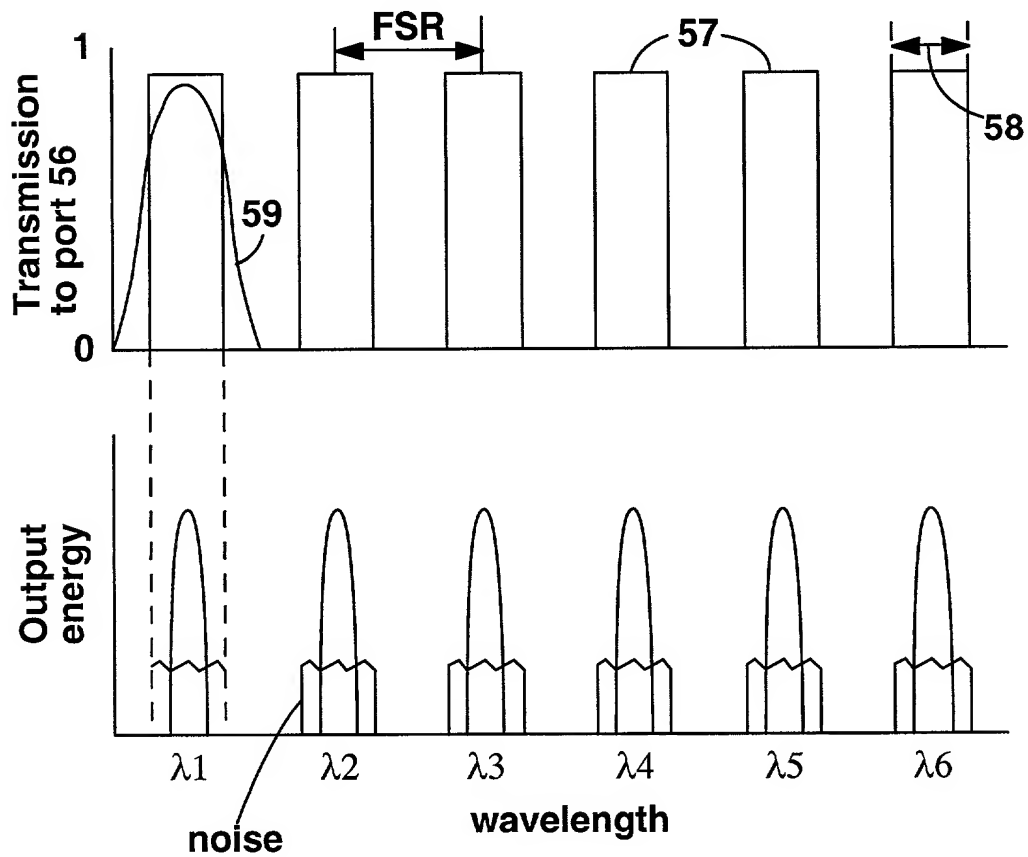


Fig. 23b

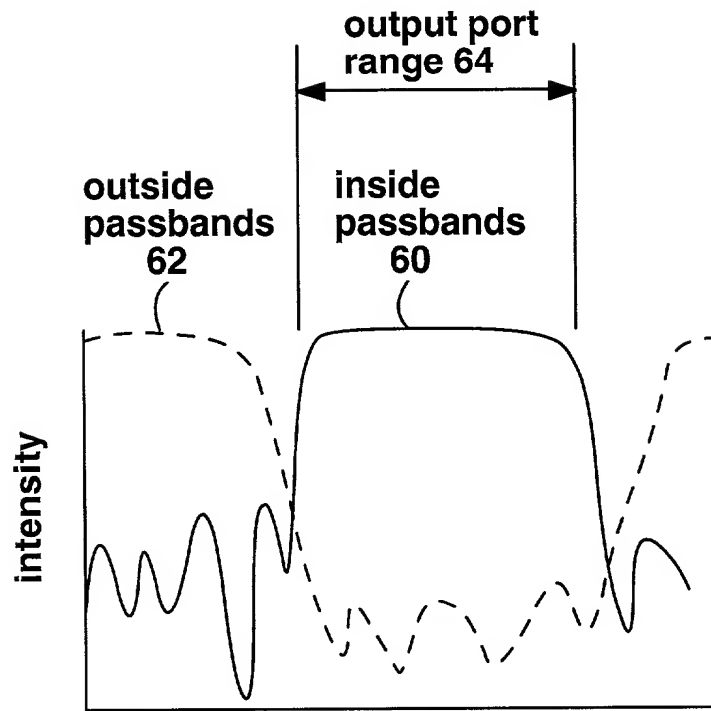


Fig. 24 position in focal plane

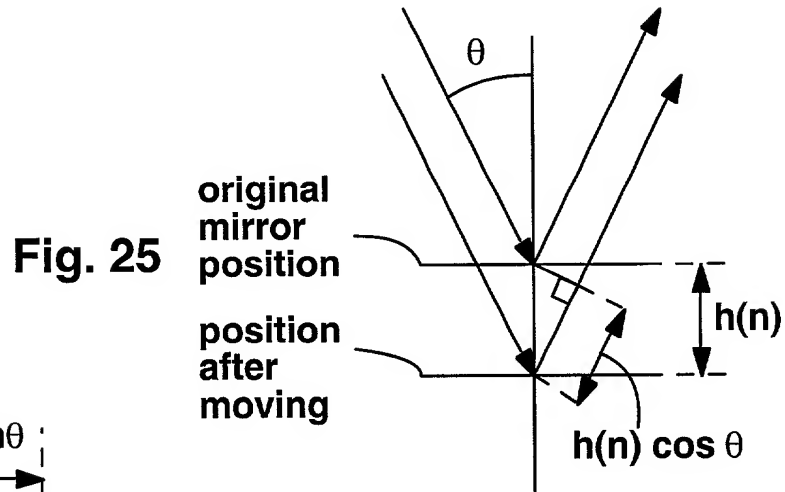


Fig. 25

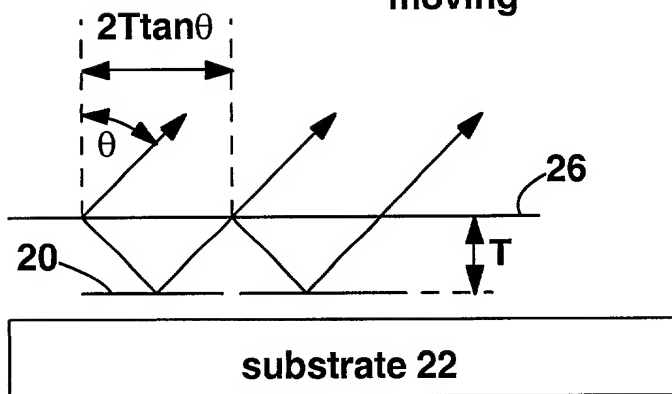


Fig. 26

12/16

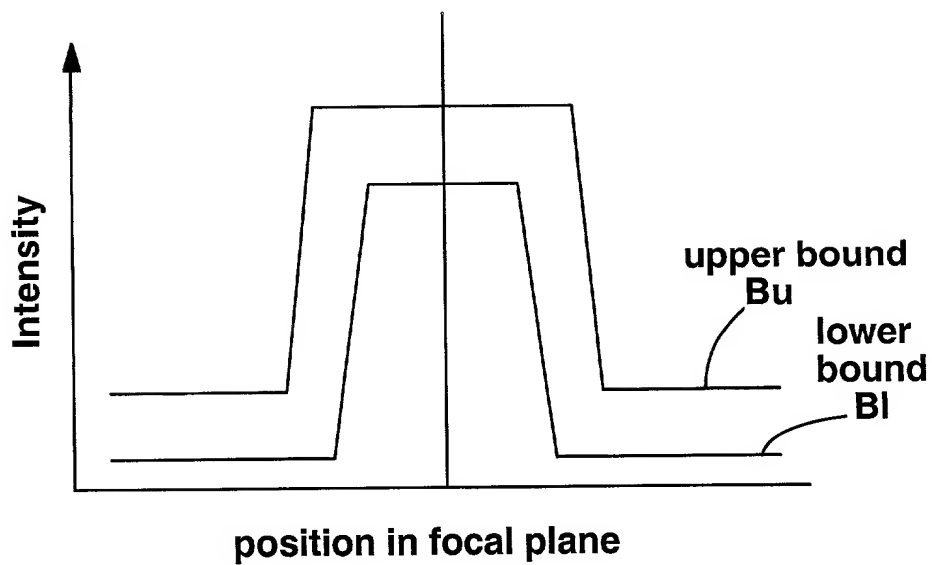


Fig. 27

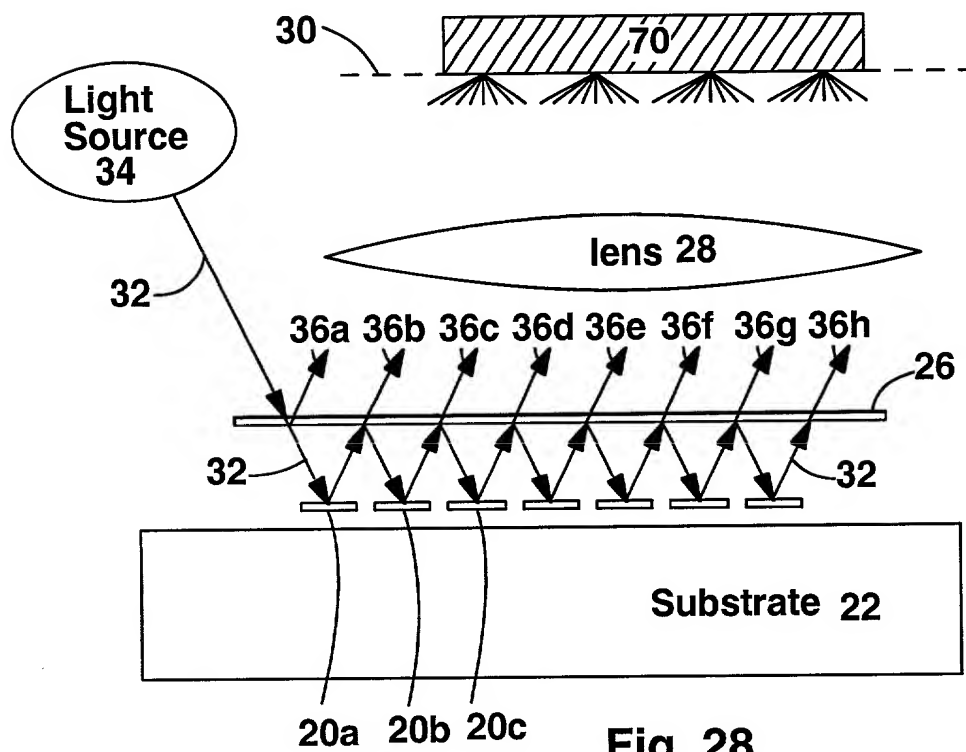
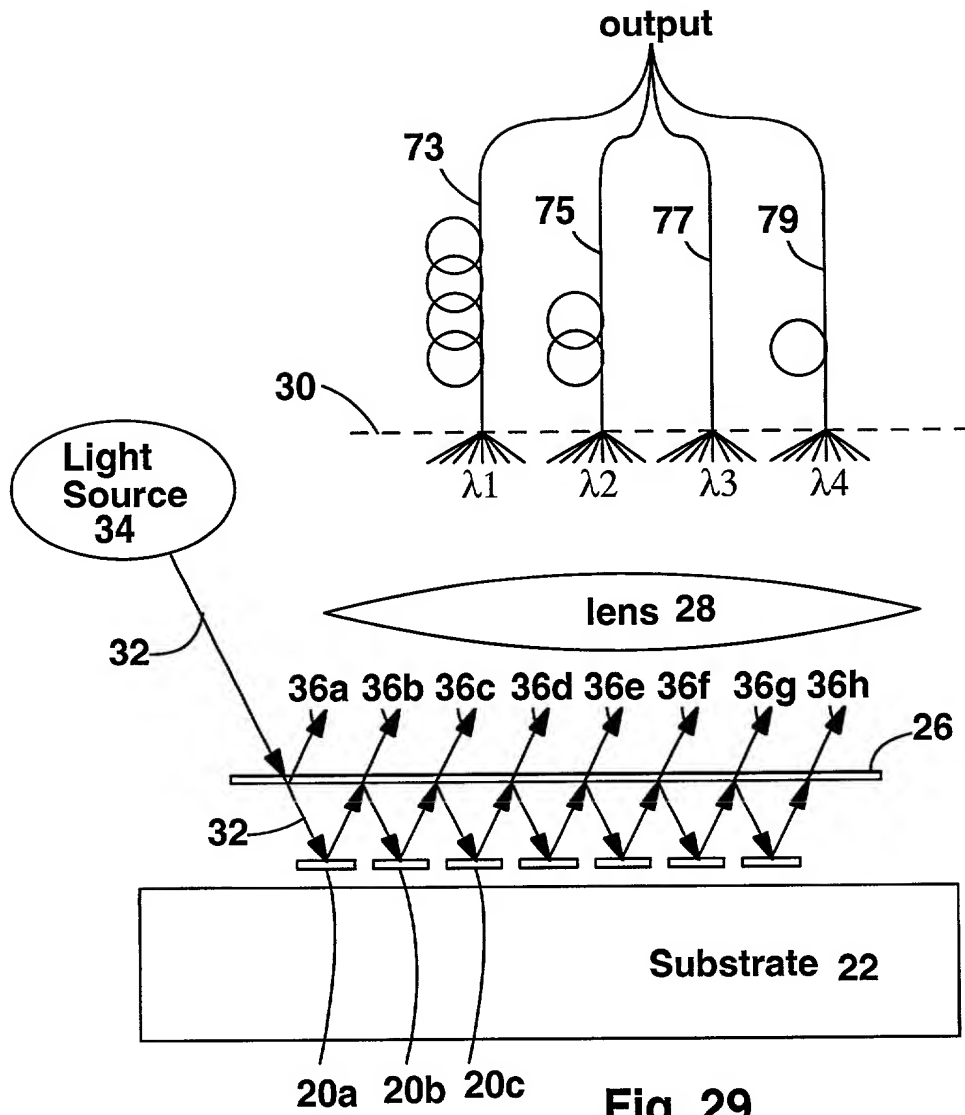
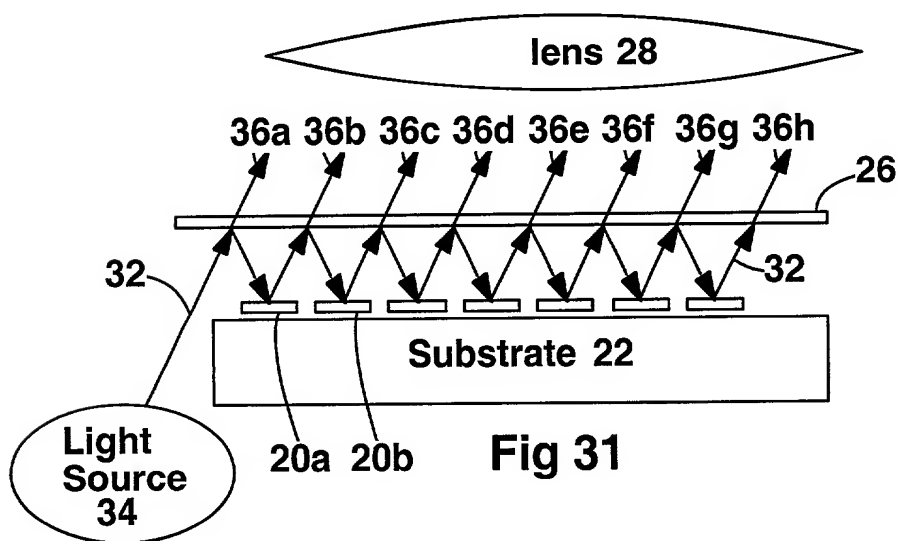
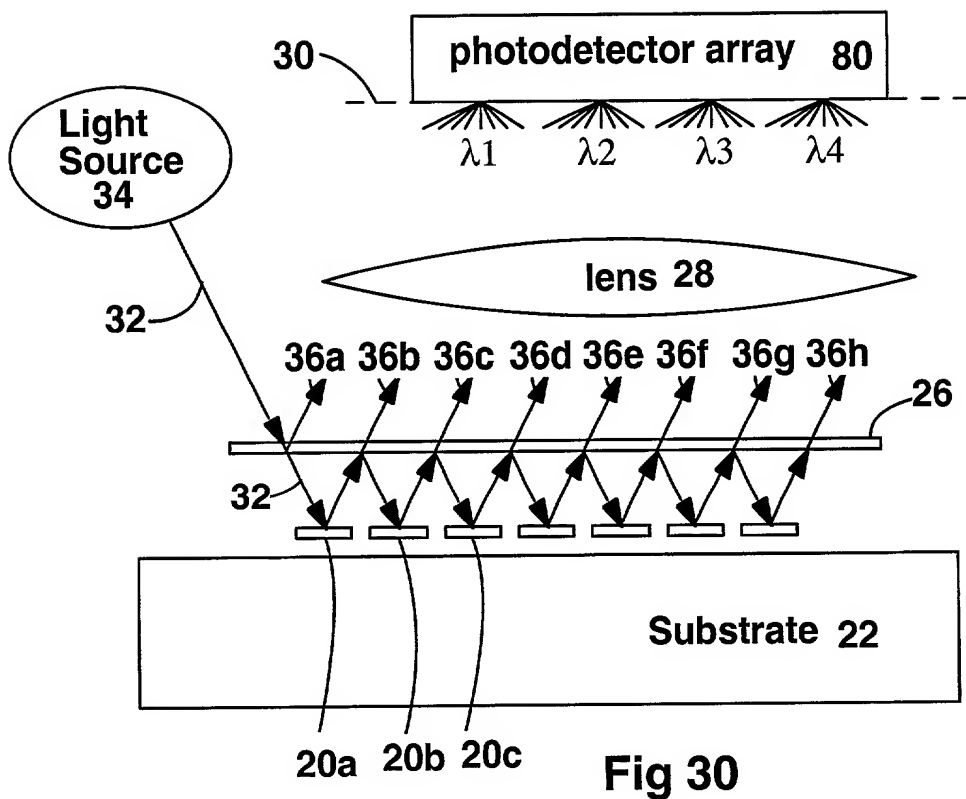
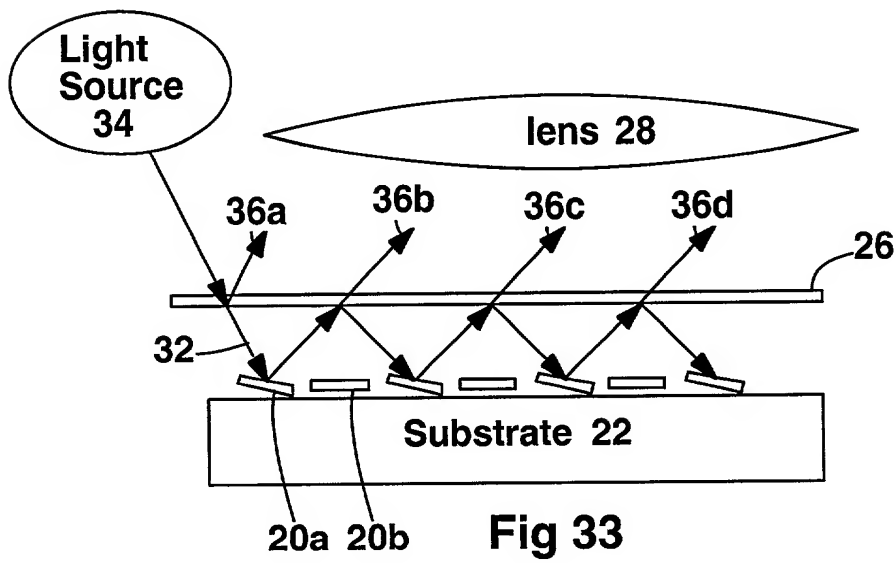
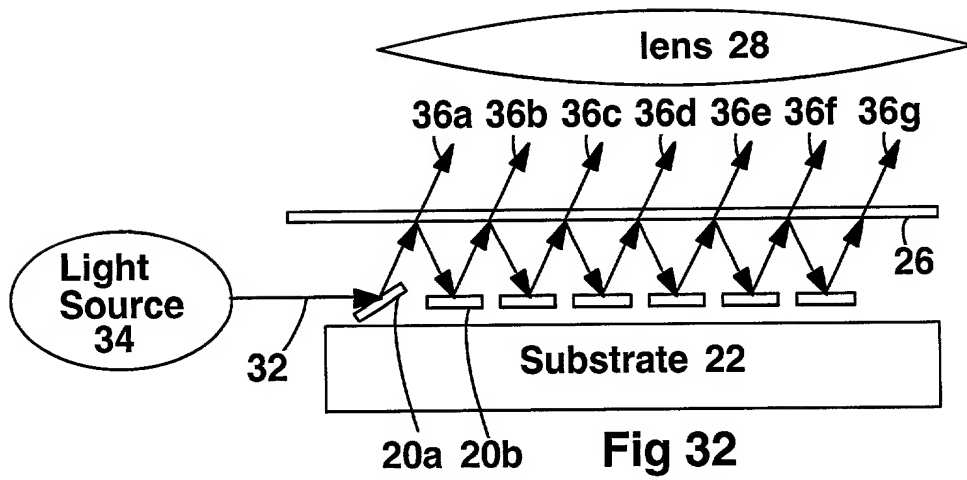


Fig. 28







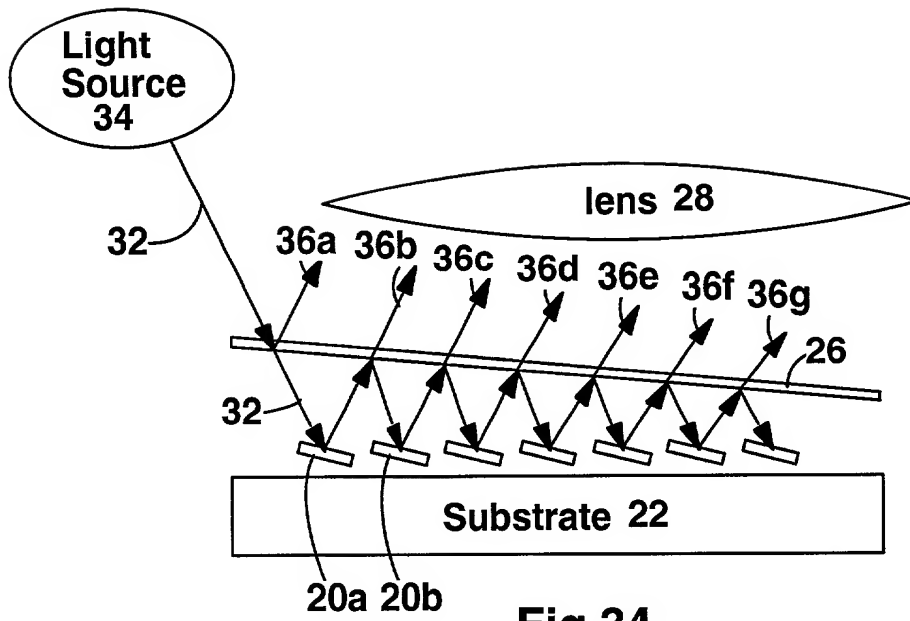


Fig 34